

# การวิเคราะห์ส่วนของเส้นผมโดยใช้ liquid chromatography–tandem mass spectrometry หลังจากได้รับ benzodiazepines เพียงครั้งเดียว

Ping Xiang a,b,\* , Qiran Sun a, Baohua Shen a, Peng Chen c, Wei Liu a, Min Shen a

a Department of Forensic Toxicology, Institute of Forensic Sciences, Ministry of Justice, Shanghai Key laboratory of Forensic Medicine, China

b Department of Forensic & Investigative Science, University of Central Lancashire, UK

c Zhejiang Province Wenzhou Public Security Bureau, China

## ข้อมูลบทความ

ประวัติบทความ:

ได้รับเมื่อ 16 January 2010

ได้รับการปรับปรุงเมื่อ 26 April 2010

ยอมรับเมื่อ 28 April 2010

ออนไลน์เมื่อ xxx

**คำสำคัญ:** Segmental hair analysis, Benzodiazepines, A single dose, Liquid chromatography–tandem mass spectrometry, DFC

## บทคัดย่อ

ในประเทศไทย benzodiazepines เป็นสารที่พบบ่อยในกรณีของอาชญากรรมที่เกี่ยวข้องกับยาเสพติด วิธีการที่มีความไวต่อปฏิกิริยาและมีความจำเพาะและสามารถทดสอบช้าเพื่อกำหนดปริมาณของ 18 benzodiazepines ในผมได้รับการพัฒนาโดยใช้ LC-MS/MS อาศัยมัลติสเปกตรัมเมต์คันไดกิน estazolam ชนิดเม็ด 1-6 มิลลิกรัม เส้นผมถูกเก็บ 1 เดือนหลังจากการได้รับยาทั้งหมดมีส่วนประกอบของ proximal ซึ่งให้ผลบางกับ estazolam ยังมีปริมาณเพิ่มขึ้นตามปริมาณยาที่ให้ estazolam สามารถตรวจพบในส่วนของเส้นผม 2-4 ซม. ในผู้ทดลอง แม้บางคนที่มีความยาวเส้นผม 4-6 ซม. ที่ให้ผลเป็นบวก การวิเคราะห์ผมได้นำไปใช้กับคดีอาชญากรรมที่ตัวอย่างเส้นผมเต็มความยาวถูกเก็บ 5 สปีด้าหรือหลังจากจะทำการทดสอบความความผิดถูกตัดเป็นส่วน 2 ซม. จาก rakiprom ได้ถูกนำมาวิเคราะห์และหาปริมาณ ระดับความเข้มข้นของ clonazepam วัดในส่วนส่วนแรกสำหรับ V#1 และ V#2 คือ 15.47 และ 11.93 pg / mg ตามลำดับ อย่างไรก็ตามทั้งส่วน 4-6 ซม. และส่วน 6-8 ซม. ของ V#1 ยังคงให้ผลบางในขณะที่ V#2 ให้ผลลบ มันจำเป็นอย่างมากที่จะต้องมีตัวชี้วัดเพื่อใช้ในการวิเคราะห์ผมเป็นส่วนๆ ในทางอาชญากรรมที่เกี่ยวข้องกับยาเสพติด

## 1. บทนำ

อาชญากรรมด้านยาเสพติด (DFC) เป็นปัญหาใหญ่ในประเทศไทย ส่วนใหญ่เกิดขึ้นกรณีที่มีการจัดรวมเกิดขึ้น นอกจากนี้การถูกทำร้ายทางเพศขณะมาสุราและยาเสพติด (DFSA) มีรายงานมากขึ้น ในประเทศไทย benzodiazepines เป็นสารที่พบบ่อยในกรณีของการเป็นสาเหตุ อาชญากรรมด้านยาเสพติด

Benzodiazepines พบมากและบอยที่สุดในยาล่ออมประสาทและยานอนหลับรวมถึงยาเสพติดทั่วโลก ลึกลึกลึกสามารถหายได้อย่างแพรวห่ายทั่วโลก ปฏิกิริยาหลักด้านเภสัชศาสตร์คือส่งผลช่วยให้หลับ แก้ไขอาการตื่น เต้น คลายกล้ามเนื้อและแก้ไขอาการชา ผล Benzodiazepines อาจทำให้เกิดการสูญเสียความสามารถในการรับรู้ ปริมาณการรักษาจะมีความเสี่ยงเพิ่มขึ้นที่ปริมาณยาสูงขึ้น

เลือดและปัสสาวะเป็นตัวอย่างที่ไวสำหรับการตรวจหาปริมาณการรับยา ในกรณีส่วนใหญ่ เพราะความจำได้รับผลกระทบจากการเสพติดจะมีสูงถึง 24-72 ชั่วโมงหรือนานกว่านั้นระหว่างรายงานของเหยื่อและการย่อยของยา นอกจากนี้ยาที่ใช้สามารถถูกตรวจพบได้ยาก เพราะจะมีขนาดของระดับยาต่ำหรือสารเคมีที่ใช้งานอยู่ไม่แน่นอน ยานบางชนิดถูกย่อยรวดเร็วจากของเหลวในร่างกาย ดังนั้นในกรณีเช่นเลือดและแม้แต่ตัวอย่างปัสสาวะบอยครั้งถูกจำกัดในด้านในการตรวจสอบสถานะยา เพื่อยืนยันการตรวจหาปริมาณการรักษาที่ผิดปกติ ผู้ต้องหาจะต้องแสดงให้ทราบว่าสามารถนำมาใช้ในการแก้ปัญหานี้ได้ ในความเป็นจริงแล้วการประกาศในกรณีของการถูกทำร้ายทางเพศขณะมาสุราและยาเสพติดแสดงให้เห็นประโยชน์ของการวิเคราะห์ผลในเอกสารหลักฐานที่มีส่วนเกี่ยวข้องกับยาเสพติด / พิษ

สาขาวิชามีความก้าวหน้าในการตรวจสอบ benzodiazepines หรือสารที่ออกฤทธิ์ทำให้ง่วงซึมในเล่นผ่านต่อไปนี้น้ำดเดียวเป็นผลจากการใช้ liquid chromatography (LC) คู่กับ MS / MS ในห้องปฏิบัติการทางนิติวิทยาศาสตร์ Kintz และเพื่อนร่วมงานได้เห็นชุดเอกสารรวมทั้งการตรวจทั่วไปและวิธีการเฉพาะ สำหรับ bromazepam, zolpidem, zopiclone และ alprazolam เข้าแนะนำให้ตัดสินใจออกเป็นสามกลุ่มๆ ละ 2 ชม. เพื่อที่จะใช้เป็นเอกสารกรณีการถูกทำร้ายทางเพศขณะมาสุราและยาเสพติด การตรวจสอบยานิดเดียวเพื่อจะยืนยันสถานะของยาในชั้นส่วนใกล้เคียง(รากหม) ซึ่งไม่มีการตรวจสอบในส่วนอื่น ๆ

ในกรอบของการทดลองของการจัดเตรียม "ชั้นตอนการวิเคราะห์" เป็นชั้นตอนตามคำแนะนำที่เป็นมาตรฐานของเราคือการใช้วิธี LC-MS/MS ตรวจสอบเพื่อยืนยันระดับปริมาณ 18 benzodiazepines ในเล่นผ่านและใช้วิธีการพัฒนาวิธีการตรวจสอบระดับของ benzodiazepine

ในกลุ่มเลี้นผสมของ (i) อาสาสมัครที่มีสุขภาพดีหลังจากได้รับ estazolam เพียงอย่างเดียวและ (ii) ผู้ที่ติดเป็นเหยื่ออาชญากรรมทั้งสองกลุ่ม

## 2. อุปกรณ์และวิธีการทดลอง

### 2.1. สารเคมีและสารตั้งต้น

Alprazolam, α-hydroxyalprazolam, midazolam, α-hydroxymidazolam, triazolam, α-hydroxytriazolam, estazolam, diazepam, nordiazepam, temazepam, oxazepam, clonazepam, 7-aminoclonazepam, flunitrazepam, 7-aminoflunitrazepam, nitrazepam, 7-ammoniumtriazepam, flurazepam และ diazepam-d5 ซึ่งจาก Cerilliant (Round Rock, เท็กซัส, อเมริกา) และสถาบันวิจัยเพื่อการควบคุมยาและผลิตภัณฑ์ที่เกี่ยวกับชีววิทยา (ปักกิ่ง, จีน) Acetonitrile, methanol, แอมโมเนียมและกรดนำมายาก Fluka Chemical จำกัด (Buchs, สวิตเซอร์แลนด์) น้ำยาอื่น ๆ ที่ได้นำมาใช้เคราะห์และไม่ได้นำมาเติมสารอื่นลงไป น้ำกลั่นบริสุทธิ์โดยใช้ระบบ Milli-Q (Millipore, MA, USA)

**Table 1**  
LC mobile phase gradient composition.

LC run time (min)	Acetonitrile (%)	Ammonium acetate buffer (%) <sup>a</sup>
0	5	95
3	60	40
7	80	20
20	80	20
20.5	5	95
30	5	95

<sup>a</sup> 20 mM ammonium acetate buffer with 0.1% formic acid, pH 4.0.

### 2.2. การเก็บตัวอย่าง

#### 2.2.1. อาสาสมัครสุขภาพดี

อาสาสมัครสุขภาพดีสิบสี่คน (อายุ 23-27 ปี) ได้รับคัดเลือกเข้าเพื่อใช้ศึกษา ผู้ทดลองทดลองในการเข้าร่วมเป็นส่วนหนึ่งของการศึกษาทดลองทางความยินยอมด้วยคำพูด โปรดโตคอลทั้งหมดได้รับอนุญาตมาจากคณะกรรมการตรวจสอบสถาบัน ข้อมูลเบื้องหลังได้ถูกเก็บรวบรวมจาก

ตัวอย่างเช่นความถี่ในการล้างผนังและชนิดของผลิตภัณฑ์เครื่องสำอางที่ใช้กับเส้นผม ผู้ทดลองส่วนใหญ่มีผลลัพธ์ที่ต่างกัน สำหรับผู้หญิงหนึ่งคนที่มีผมดัด

ตัวอย่างเดียวกันที่ได้รับก่อนและหลังที่ 1-8 ชั่วโมงหลังจากได้รับ estazolam ทางปากอย่างเดียว (1 mg/tablet) มีปริมาณระดับสารอยู่ระหว่าง 1-6 mg ที่ถูกนำมาใช้ในการศึกษา เส้นผมถูกเก็บ 1 เดือนหลังจากการเก็บข้อมูล เส้นผมประมาณ 100 เส้นถูกตัดจากจุดยอดใกล้เคียงหนังศรีษะที่สุดเท่าที่เป็นไปได้, ผมที่เพิ่งออก, และเก็บไว้ในถุงกระดาษสะอาดในอุณหภูมิห้อง

### 2.2.2. กรณีการถูกทำร้ายทางเพศขณะมาสู่ฯและยาเสพติด

เต็กผู้หญิงสองคน (V#1 and V#2) ได้รับเชิญให้รับประทานอาหารว่างเวลากลางคืนหลังจากดื่ม เครื่องดื่มที่พากเข้าไปได้สติ เมื่อพากเข้าดื่มน้ำก็จะหนักกว่าพากเขาก่อนขึ้นและไปพบตำรวจ 18 ชั่วโมงภายหลัง ที่หน่วยกฎหมายแพทย์ของโรงพยาบาลเก็บตัวอย่างเลือดที่พบ clonazepam และ 7-amino clonazepam ในเส้นผม

### 2.3. การจัดเตรียมตัวอย่าง

#### 2.3.1. ตัวอย่างเส้นผม

เส้นผมถูกตัดแบ่งและล้างสองครั้งด้วยไนโคลอโรเมเทน 5 ml ล้างครั้งสุดท้ายถูกเก็บไว้สำหรับการวิเคราะห์ต่อไป หลังจากที่ตากในอากาศให้แห้งซึ่งถูกตัดเป็นชิ้นเล็ก ๆ ขนาดประมาณ 3 มิลลิเมตรและทำให้เป็นผงในโรงงานแช่แข็ง (Freezer/Mill, SPEX CertiPrep) ผงเส้นผม 20 mg ถูกทำให้เซลล์แตกในอ่างอัดตราโนนิคที่มีฟอสเฟตบัฟเฟอร์ 1 ml, pH 8.4, 1 ชั่วโมงที่อุณหภูมิห้อง ในที่มี diazepam-d5 0.4 ng เป็นมาตรฐานภายใน (IS) ของเหลวที่ได้จากการสกัดด้วย 3 ml ของไนโคลอโรเมเทน หลังจากการเตรียมกับตัวทำละลายที่ 60 °C ส่วนที่เหลือได้ถูกผสมในมิกกับ 100 ml ของ Acetonitrile - 20 mM ammonium acetate (70:30, v / v) และ 5 ml ถูกฉีดเข้าระบบ LC-MS/MS

**Table 2**  
MRM transitions, condition and retention time for benzodiazepines.

Compound	Parent ion ( <i>m/z</i> )	Daughter ion ( <i>m/z</i> )	Dwell time (ms)	DP (V)	CE (eV)	Rt (min)
Diazepam	285.1	193.3 154.1	30 30	60	45 36	9.91
Oxazepam	287.2	241.2 269.3	30 30	50	31 36	8.55
Nordiazepam	271.2	140.2 208.1	30 30	60	36 36	9.14
Temazepam	301.2	255.2 283.1	30 30	70	36 19	9.25
Clonazepam	316.2	270.1 214.1	30 30	65	36 49	9.11
7-Aminoclonazepam	286.1	222.2 250.1	30 30	60	34 42	7.73
Nitrazepam	282.2	236.2 180.2	30 30	60	32 52	8.95
7-Aminonitrazepam	252.2	121.1 146.2	30 30	80	37 38	7.69
Flunitrazepam	314.2	268.3 239.3	30 30	65	35 45	9.62
7-Amino flunitrazepam	284.2	135.2 226.2	30 30	80	39 41	8.08
Triazolam	343.2	308.2 315.2	30 30	70	36 35	8.93
$\alpha$ -Hydroxytriazolam	359.2	331.2 176.1	30 30	80	38 37	8.23
Alprazolam	309.2	281.1 274.2	30 30	70	32 33	8.94
$\alpha$ -Hydroxyalprazolam	325.2	297.2 279.2	30 30	70	35 33	8.23
Midazolam	326.2	291.4 244.2	30 30	70	37 35	11.65
$\alpha$ -Hydroxymidazolam	342.0	324.2 203	30 30	60	29 38	9.26
Estazolam	295.2	267.3 205.2	30 30	70	34 53	8.67
Flurazepam	388.2	315.2 288.1	30 30	55	32 33	19.66
Diazepam-d5 (IS)	290.2	198.2 159.2	30 30	60	45 36	9.91

### รูปตัวอย่างเครื่อง LC-MS/MS



### 2.3.2. ตัวอย่างเลือด

ขั้นตอนการสกัดได้เหมือนกับที่เคยรายงานไว้ก่อนหน้านี้ ตัวอย่างเลือด 1 ml, 10 ng diazepam - D5 (IS) และ 2 ml ของ sodium borate buffer, pH 9.2 ถูกเพิ่มเข้าไป ของเหลวที่สกัดได้ถูกนำมาผสมกับ 3 ml ของ diethyl ether หลังจาก加熱ตัวทำละลายที่ 60 °C ส่วนที่เหลือได้ถูกผสมให้กับ 100 ml ของ Acetonitrile - 20 mM ammonium acetate (70:30, v / v) และ 5 ml ถูกชี้ดเข้าระบบ LC-MS/MS

### 2.4. การจัดเตรียมเครื่องมือ

ระบบ liquid chromatography-tandem mass spectrometry (LC-MS/MS) ประกอบด้วย Agilent HPLC (Palo Alto, CA, USA) รวมทั้งปั๊มหั่งสี, อุปกรณ์ในการกำจัดฟองอากาศในสารละลายของไนโตรและระบบส่งเลือดเข้าเครื่องอัตโนมัติ, MDS Sciex API 4000 triple quadrupole mass spectrometer (Applied Biosystems, Foster City, CA, USA) ชุดวิเคราะห์ 1.4.2 ซอฟต์แวร์ที่ใช้ในการควบคุมเครื่องมือและเก็บข้อมูล

คอลัมน์วิเคราะห์เป็นคอลัมน์ Restek Allure PFP Propyl ((100 mm x 2.1 mm i.d., 5 μm) ติดตั้งด้วยคอลัมน์ end-capped C18 guard (12.5 mm x 2.1 mm id, 5 μm) ที่อุณหภูมิน้ำองตามวิธีการของ Villain, LC mobile phase gradient (ดูตาราง 1 ประกอบ) โดยใช้ความลับเอียดของการวิเคราะห์ อัตราการไหล รวมผ่านคอลัมน์เป็น 200 มล. / นาที

เครื่องมือได้ถูกดำเนินการในโหมดไออันบาก ผลที่ได้ที่สุดคือที่แรงดันไฟฟ้า ionspray 5 kV และแหล่งอุณหภูมิที่ 500 °C ก้าว CAD (ในโตรเจน) ที่ 7 psi, ก้าว CUR ที่ 25 psi และห้อง GS1 และ GS2 ที่ 35 psi ข้อมูลถูกบันทึกในโหมดการตรวจสอบปฏิกิริยาหลายครั้ง (MRM) Parent ions สองคอลั่งกับ daughter ions, ตามเวลาที่ตั้งไว้ ความเป็นไปได้ในการแยกตัวออกจากกลุ่มก้อน (DP) และพลังงานของการชน (CE) ที่เหมาะสมสำหรับการวิเคราะห์และการทำ standard จะแสดงในตารางที่ 2 การเปลี่ยนแปลงครั้งแรกถูกใช้ในการวัดปริมาณ

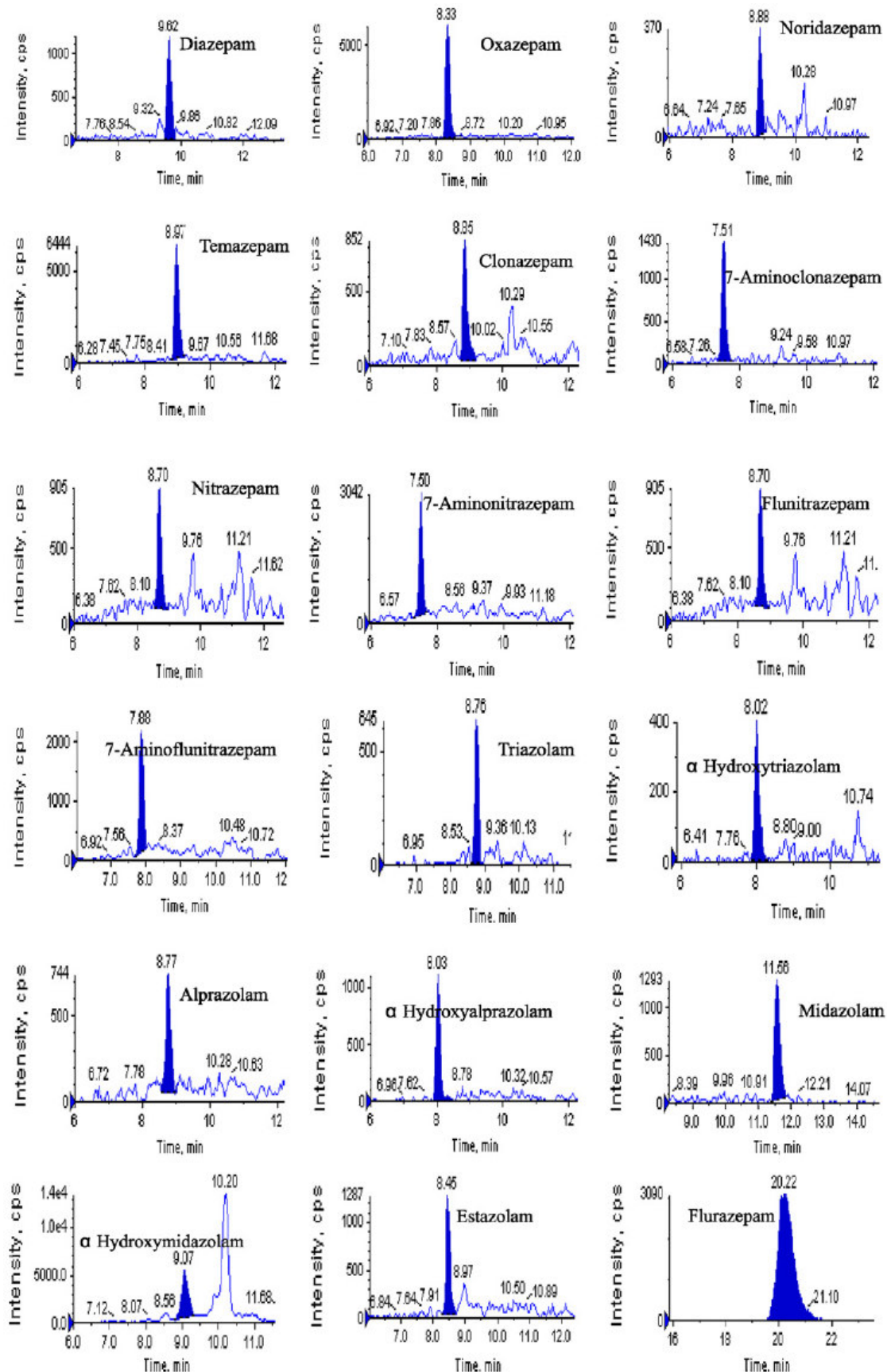


Fig. 1. The ion chromatograms of blank hair spiked with analytes at the Level of LOQ.

## 2.5. วิธีการตรวจสอบ

วิธีการคือการตรวจสอบตามคำแนะนำโดย Peters และช้าคณะ Standard curves เทียบเป็นจริงได้โดยการเติมผงเส้นผสมเพียงอย่างเดียว (20 mg) ที่มี 0.5, 1, 2, 5, 10, 20, 50, 100, 200 และ 500 pg / mg ผสมกับ 18 benzodiazepines

ความถูกต้องและแม่นยำได้ถูกตรวจสอบโดยใช้ผงผสมเป็น blank ที่ประกอบด้วย 18 สารประกอบในปริมาณความเข้มข้นต่ำ, กลางและสูงเมื่อเทียบกับช่วงสอบเทียบ แม่นยำภายในวันที่กำหนดโดย assaying หาตัวอย่างผงได้ถูกแทงที่ระดับความเข้มข้นของแต่ละวันเดียวกันและความแม่นยำ ในแต่ละวันความแม่นยำได้ถูกตรวจสอบโดยการวิเคราะห์เส้นผง 6 เส้นในแต่ละระดับความเข้มข้นในวันเดียวกันและในระหว่างวันความแม่นยำได้ถูกตรวจสอบโดยการวิเคราะห์ชั้थุกๆ 4 วัน

การคืนสู่สภาพเดิมได้ถูกกำหนดขึ้นที่ระดับความเข้มข้นต่ำ, กลางและระดับสูงโดย เปรียบเทียบวิเคราะห์พื้นที่จุดสูงสุดในการวิเคราะห์ของสารสกัดตัวอย่างที่ได้ ( $n = 6$ ) ด้วยตัวอย่าง blank ที่ได้วิเคราะห์ไปในทางเดียวกันหลังจากการสกัด ( $n = 6$ )

เพื่อศึกษาความไวของการเกิดปฏิกิริยาและความเป็นไปได้ของสิ่งรบกวนในการทดลอง, แหล่งที่มา 10 แหล่งของผงผสมสำหรับการวิเคราะห์

จำกัดการตรวจสอบ (LOD) ได้ประเมินผลด้วยการลดความเข้มข้นของสารในผงผสม 18 ชนิดในผงผสม blank จนกระทั่งเทียบท่ากับการตอบสนองสามครั้งพบการเปลี่ยนแปลงสองครั้ง การจำกดปริมาณ (LOQ) ได้ถูกกำหนดให้เป็นความเข้มข้นต่ำสุดในเส้นคงดองสอบเทียบและการตอบสนองดีกว่าทั้ง 10 ครั้ง

Matrix effects (ME) เป็นการถูกประเมินโดยวิธีการของ Matuszewski และคณะ สัญญาณการวิเคราะห์ในเฟสเคลื่อนที่ ( $n = 6$ ) เมื่อเปรียบเทียบกับสัญญาณการวิเคราะห์ใน matrix เสริมหลังจากการสกัด ( $n = 6$ ) และ ME ได้กำหนดเป็น  $ME\% = (\text{extracted matrix area/mobile phase area}) \times 100$

## 3. ผลการทดลอง

### 3.1. วิธีการตรวจสอบ

การเลือกวิธีการทดลองได้รับการยืนยันโดยไม่มีการรบกวนในจุดสูงสุดที่จำนวนครั้งที่กำหนดได้สำหรับ 18 benzodiazepines ใน blank ผงผสม chromatograms ion ของ blank เส้นผงที่ได้วิเคราะห์และมาตรฐานภายในที่ระดับต่ำสุดของการสอบเทียบจะแสดงในรูป 1

Calibration curves ได้ถูกทำเพื่อแต่ละสารประกอบสำหรับช่วงความเข้มข้นที่แสดงในตารางที่ 3 และ LOD อยู่ระหว่าง 0.2-5 pg / mg (ตารางที่ 3) การໄวต่อปฏิริยานี้เพียงพอสำหรับการทดสอบของเส้นผมหลังจากใช้ benzodiazepines ในปริมาณเดียว

**Table 3**  
Calibration curves and LOD for 18 benzodiazepines.

Compounds	LOD (pg/mg)	Calibration ranges (pg/mg)	Calibration curves	r
Diazepam	0.5	1-200	$y = 0.0216x + 0.0356$	0.9997
oxazepam	2	5-200	$y = 0.019x + 0.2182$	0.9971
Nordiazepam	0.5	1-200	$y = 0.0109x + 0.0056$	0.9993
Temazepam	2	5-200	$y = 0.0466x + 0.0829$	0.9978
Clonazepam	0.5	1-200	$y = 0.0162x + 0.0133$	0.9997
7-Aminoclonazepam	5	10-500	$y = 0.0041x + 0.0075$	0.9989
Nitrazepam	0.5	1-200	$y = 0.0297x + 0.0389$	0.9996
7-Aminonitrazepam	5	10-500	$y = 0.007x + 0.0304$	0.9989
Flunitrazepam	0.5	1-200	$y = 0.0299x + 0.0356$	0.9997
7-Aminoflunitrazepam	2	10-500	$y = 0.0174x + 0.0233$	0.9995
Triazolam	1	2-200	$y = 0.2264x + 0.6017$	0.9993
$\alpha$ -Hydroxytriazolam	5	10-500	$y = 0.0011x + 0.0061$	0.9991
Alprazolam	0.5	1-200	$y = 0.0493x + 0.0491$	0.9999
$\alpha$ -Hydroxyalprazolam	1	10-500	$y = 0.0165x - 0.0015$	0.9995
Midazolam	1	2-200	$y = 0.0596x + 0.0024$	0.9982
$\alpha$ -Hydroxymidazolam	5	10-500	$y = 0.0226x - 0.1183$	0.9994
Estazolam	0.2	0.5-200	$y = 0.1414x + 0.0272$	0.9998
Flurazepam	0.5	1-200	$y = 0.1562x + 0.1377$	0.9998

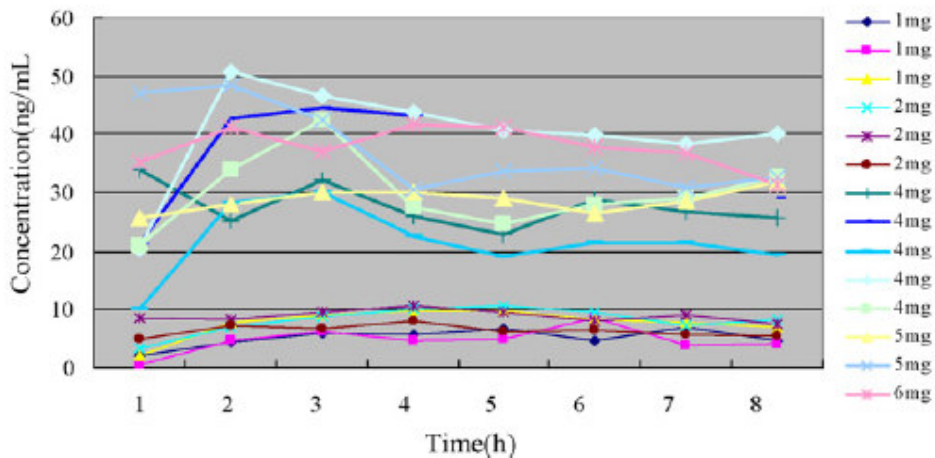
ข้อมูลที่มีความถูกต้องและแม่นยำ (ตารางที่ 4) ได้ถูกกำหนดในช่วงที่ยอมรับได้ ความแม่นยำในแต่ละวันและระหว่างวันน้อยกว่า 20% การคืนสูญภาพเดิมได้จากการตัวอย่างที่มีค่าตั้งแต่ 38% ถึง 104% แม้ว่าการคืนสูญภาพเดิมของ 7-aminonitrazepam และ 7-amnioclonazepam มีค่าต่ำกว่า 50%, วิธีการแสดงให้เห็นว่าความถูกต้องและความแม่นย้ำสามารถยอมรับได้สำหรับทั้ง 2 สาร ผลแสดงในตารางที่ 4 แสดงให้เห็นว่า hair matrix ทำให้ ion suppression มีนัยสำคัญและมีอิทธิพลต่อ benzodiazepines แต่เนื่องจากเราใช้ diazepam - d5 เป็นมาตรฐานภายใน, ที่มีผล ion-suppression ไม่มีนัยสำคัญต่อความถูกต้องของผลการทดลอง

**Table 4**  
Validation parameters for 18 benzodiazepines.

Compound	Spiked concentration (pg/mg)	Accuracy (%bias) (n=6)	Recovery (%) (n=6)	ME (%) (n=6)	Precision (%RSD)	
					Intra-day (n=6)	Inter-day (n=24)
Diazepam	1	12.8	103.0	59.4	11.4	7.6
	10	14	103.0	72.4	11.0	12.4
	150	0.8	102.0	62.4	5.1	8.8
Oxazepam	5	15	82.6	90.3	9.7	7.2
	10	6.8	103.0	86.5	10.6	6.6
	150	3.2	88.0	89.2	3.1	12.7
Nordiazepam	1	4.4	87.0	73.8	6.6	14.5
	10	5.0	91.0	84.5	13.5	7.6
	150	0.3	89.0	81.4	6.6	11.5
Temazepam	5	12.5	89.0	67.0	8.3	11.2
	10	1.2	90.0	73.9	7.7	5.7
	150	1.6	99.0	60.6	4.1	10.2
Clonazepam	1	5.8	102.0	95.4	13.3	13.3
	10	6.0	93.0	94.8	11.5	7.3
	150	0.4	97.0	95.7	6.6	12.0
7-Aminoclonazepam	10	11.5	58.1	35.0	9.3	15.4
	100	6.8	47.3	57.7	5.6	10.9
	400	2.6	49.3	56.7	5.9	11.9
Nitrazepam	1	4.9	75.0	81.3	14.8	18.3
	10	5.0	94.0	86.9	9.3	6.4
	150	0.3	86.0	84.5	8.3	13.3
7-Aminonitrazepam	10	14.8	40.8	53.2	5.5	12.5
	100	2.0	38.0	52.8	7.2	10.1
	400	3.0	39.4	71.4	6.2	14.8
Flunitrazepam	1	2.0	80.0	68.0	10.3	12.6
	10	1.7	97.0	73.4	8.6	12.3
	150	0	104.0	61.7	4.7	12.9
7-Aminoflunitrazepam	10	13.8	50.8	39.1	8.2	17.8
	100	5.8	67.5	45.6	4.7	12.0
	400	3.4	61.5	48.7	8.5	18.4
Triazolam	2	13.3	75.9	61.1	8.1	7.6
	10	14	71.4	68.2	8.2	8.5
	150	2.9	65.1	60.9	5.1	10.0
$\alpha$ -Hydroxytriazolam	10	8.8	50.3	92.6	6.8	11.9
	100	2.0	59.7	96.3	5.5	9.0
	400	2.4	61.0	94.5	3.0	7.9
Alprazolam	2	9.7	54.9	61.5	4.9	10.0
	10	3.3	69.2	74.7	6.5	8.3
	150	0.2	63.9	68.5	5.5	7.1
$\alpha$ -Hydroxyalprazolam	10	12.5	56.1	88.4	10.2	8.9
	100	2.8	77.0	90.7	6.5	8.3
	400	5.2	60.7	92.7	6.0	11.2
Midazolam	2	12.8	91.7	25.7	8.2	14.7
	10	9.5	87.2	30.9	6.5	8.6
	150	0.5	93.7	32.4	4.5	7.8
$\alpha$ -Hydroxymidazolam	10	16.5	65.6	64.0	7.5	14.1
	100	5.4	80.4	67.4	2.8	12.0
	400	0.8	82.6	60.0	8.2	13.9
Estazolam	2	6.4	59.6	69.2	4.0	14.4
	10	2.4	59.1	71.5	3.5	7.2
	150	1.2	62.1	65.4	3.9	7.4
Flurazepam	1	10.9	80.7	109.7	13.5	11.4
	10	0.7	76.5	103.5	8.7	9.7
	150	3.5	85.9	108.2	6.3	8.9

### 3.2. การทดสอบในอาสาสมัคร

estazolam ปริมาณ 1-2 mg เพียงอย่างเดียวไม่ได้มีผลต่อพฤติกรรมของอาสาสมัคร ผู้ที่ได้รับ 4 mg หรือมากกว่า 4 mg ของ estazolam พฤติกรรมปรากฏชัดเจนในช่วงครึ่งชั่วโมงต่อมา พากเพียรเมื่อปฏิริยาช้าลง แขนขาอ่อนแรงและง่วงนอน ตรวจเลือดพากเพียรความเข้มข้น estazolam ปริมาณ 20 ng / ml 1 ชั่วโมงหลังจากที่ได้รับสาร ตารางระหว่างความเข้มข้นกับเวลา ในตัวอย่างเลือดของอาสาสมัครได้นำเสนอเป็นรูปที่ 2



**Fig. 2.** The concentration–time curve in blood samples of volunteers who took single dose of estazolam.

เลี้นผมของอาสาสมัคร 14 รายที่ได้รับการทดสอบโดยได้รับ estazolam ขนาดเดียว ซึ่งกำจัดการปนเปื้อน, การตัดแบ่ง, การวิเคราะห์และการหาบริมาน ผลแสดงในตารางที่ 5 estazolam ขนาด 1 mg เพียงอย่างเดียวสามารถตรวจพบในผู้หลังจากหนึ่งเดือน ดังรูปที่ 3 แสดงความสัมพันธ์ระหว่างปริมาณและความเข้มข้นระหว่างส่วนต่างๆ 0-2 ซม. ( $r = 0.766$ ) โดยมีค่าแปรปรวนแคบสำหรับอาสาสมัครที่ได้รับปริมาณสารเดียวกัน (น้อยกว่า 40%) ทั้งหมดมีส่วนใกล้เคียงกันซึ่งให้ผลบางส่วนของ estazolam ที่มีปริมาณเพิ่มขึ้น estazolam สามารถตรวจพบในอาสาสมัครที่ส่วนของเลี้นผมขนาด 2-4 ซม. ในเรื่องของผู้บ้าง ไม่เริ่นแต่ส่วนของเลี้นผมที่มีขนาด 4-6 ซม. จะให้ผลเป็นบวก

**Table 5**  
Concentrations of estazolam in hair 1 month after a single dose.

No.	Age	Sex	Weight (kg)	Hair length (cm)	Dosage (mg)	Concentration (pg/mg)			
						0–2 cm	2–4 cm	4–6 cm	Distal 2 cm
1	26	Female	50	20 cm	1	0.56	+ <sup>a</sup>	— <sup>b</sup>	—
2	26	Female	44	12 cm	1	0.61	—	—	—
3	24	Male	58	4 cm	1	+	—	— <sup>c</sup>	—
4	27	Male	57.5	2 cm	2	0.67	/	/	—
5	24	Female	80	20 cm	2	1.45	—	—	—
6	27	Male	60	4 cm	2	1.11	—	/	—
7	27	Male	57.5	4 cm	4	1.52	0.77	/	—
8	26	Female	44	12 cm	4	1.12	0.83	+	—
9	24	Male	58	4 cm	4	2.45	0.71	/	—
10	26	Female	47	15 cm	4	0.94	+	+	—
11	23	Female	42	22 cm	4	1.49	+	—	—
12	25	Male	59	4 cm	5	2.60	+	/	—
13	26	Male	60	4 cm	5	2.28	+	/	—
14	27	Male	59	4 cm	6	1.94	+	/	—

<sup>a</sup> +: detected, but below LOQ.

<sup>b</sup> -: not detected.

<sup>c</sup> /: sample is absent.

### 3.3. กรณีการถูกทำร้ายทางเพศขณะมาสู่ฯและยาเสพติด

Clonazepam และสารหลักของผลิตผลของกระบวนการการสันดาป 7-aminoclonazepam ตรวจพบในทั้งสองตัวอย่างเลือดจากสองผู้ประสบภัย ความเข้มข้นของเลือดของ clonazepam และ 7-aminoclonazepam สำหรับ V # 1 คือ 1.05 และ 20.60 ng / มิลลิลิตรตามลำดับ เข้มข้นสำหรับ V # 2 ได้ 0.22 และ 15.34 ng / มิลลิลิตรตามลำดับ

ตัวอย่างเส้นผมเต็มความยาวเก็บ 5 สปีด้าห์หลังจากความผิดเกิดขึ้นถูกตัดเป็นส่วน 2 ซม. จากกรองมิเคราท์และหาปริมาณ รูปที่ 4 และ 5 แสดง chromatograms ของส่วนใกล้เคียง (0-2 ซม.) ของ V#1 และ V#2 ผลแสดงในตารางที่ 6

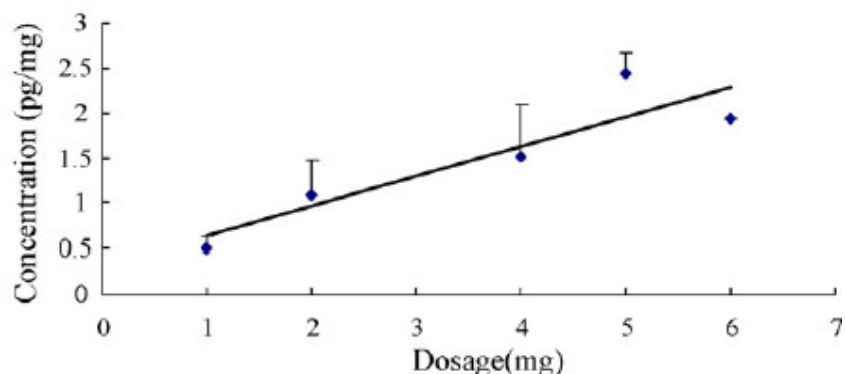


Fig. 3. Estazolam concentrations in hair at different doses.

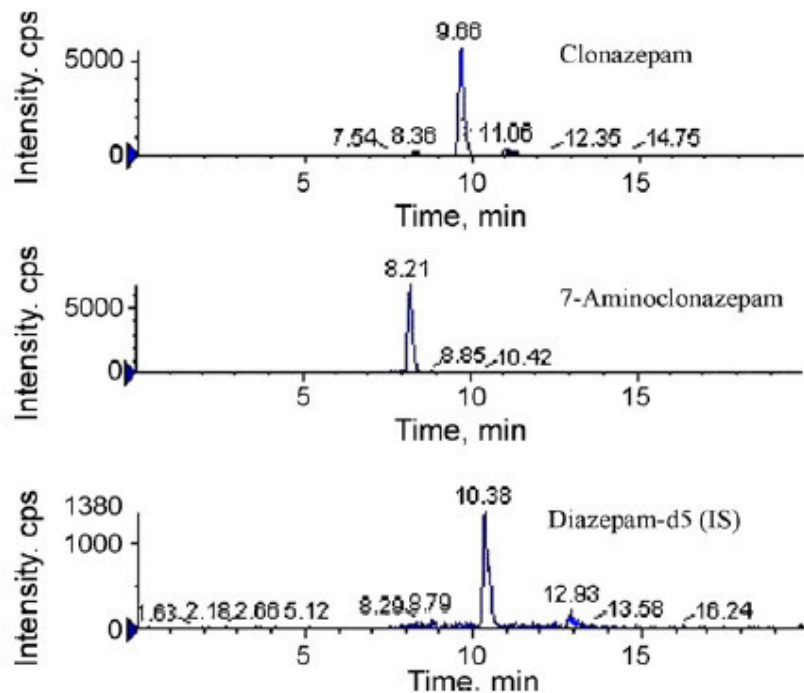
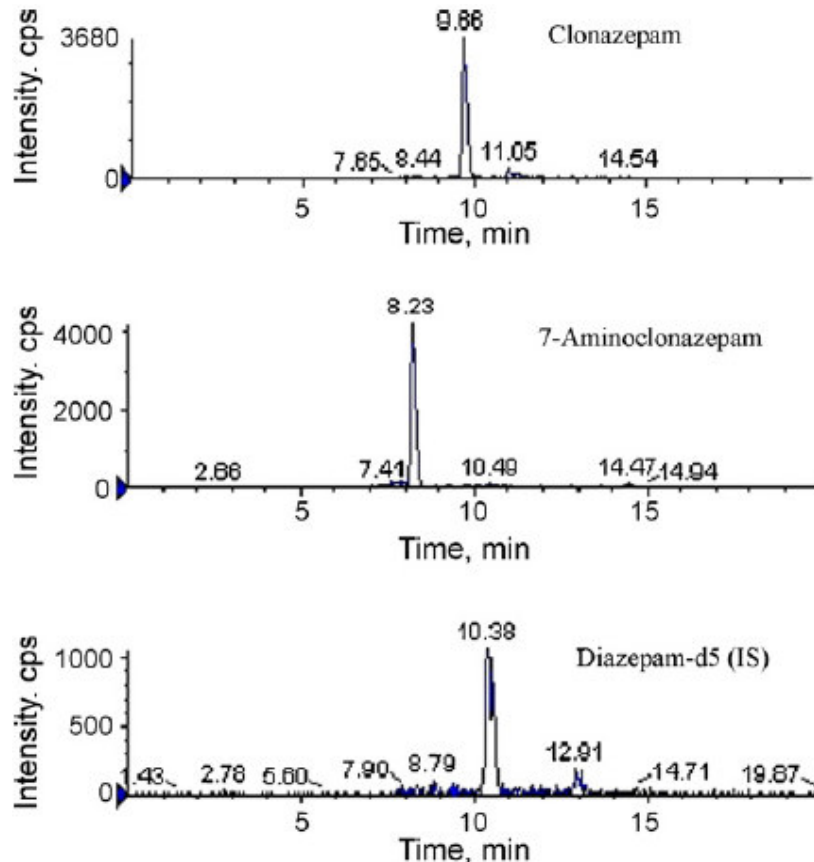


Fig. 4. Chromatogram of the proximal segment of V#1.



**Fig. 5. Chromatogram of the proximal segment of V#2.**

**Table 6**  
Concentrations of clonazepam and 7-aminoclonazepam in two victims' hair.

Hair segments from proximal	V#1		V#2	
	Clonazepam (pg/mg)	7-Aminoclonazepam (pg/mg)	Clonazepam (pg/mg)	7-Aminoclonazepam (pg/mg)
0-2 cm	15.47	45.30	11.93	33.47
2-4 cm	5.31	- <sup>a</sup>	1.31	-
4-6 cm	1.63	-	-	-
6-8 cm	+ <sup>b</sup>	-	-	-
8-10 cm	-	-	-	-
10-12 cm	-	-	-	-
12-14 cm	-	-	-	-
14-16 cm	-	-	-	-

<sup>a</sup> - : not detected.

<sup>b</sup> +: detected, but below LOQ.

สองส่วนแรกสำหรับ V#1 และ V#2 มีทั้งให้ผลบวกสำหรับ clonazepam (15.47 pg / mg สำหรับส่วนแรกและ 5.31 pg / mg สำหรับส่วนที่สองของ V # 1; 11.93 pg / mg สำหรับส่วนแรก และ 1.31 pg / mg สำหรับส่วนที่สองของ V # 2) นอกจากนี้ 7-aminoclonazepam อาจจะพบในกลุ่มแรก (เช่น 0-2 ซม.) สำหรับเหยื่อทั้งสองมีความเข้มข้น 45.30 pg / mg (V # 1) และ 33.47

pg / mg (V # 2) ซึ่งมีความเข้มข้นสูงกว่าเปรียบเทียบกับ ระดับการ clonazepam พบ ทั้ง 4-6 ซม. และส่วน ซม. 6-8 ของ V1 # ยังคงให้ผลลวงในขณะที่ผู้ V # 2 ให้ผลลบ

เพื่อปรับแต่งปรับรูป clonazepam ในผม ตัวอย่างผม V # 1 ได้ถูกตัดออกเป็นส่วนๆ ละ 0.5 ซม. ดังแสดงในรูป 6 การแบ่งส่วนพบริมาณ clonazepam สูงขึ้น ที่ 0.5-1 ซม. ตามมาด้วย 1-1.5 ซม. สำหรับ 7-aminoclonazepam, ความเข้มข้นสูงพบได้ในส่วนที่สอดคล้องกับความยาว 0-0.5 และ 0.5-1 ซม.

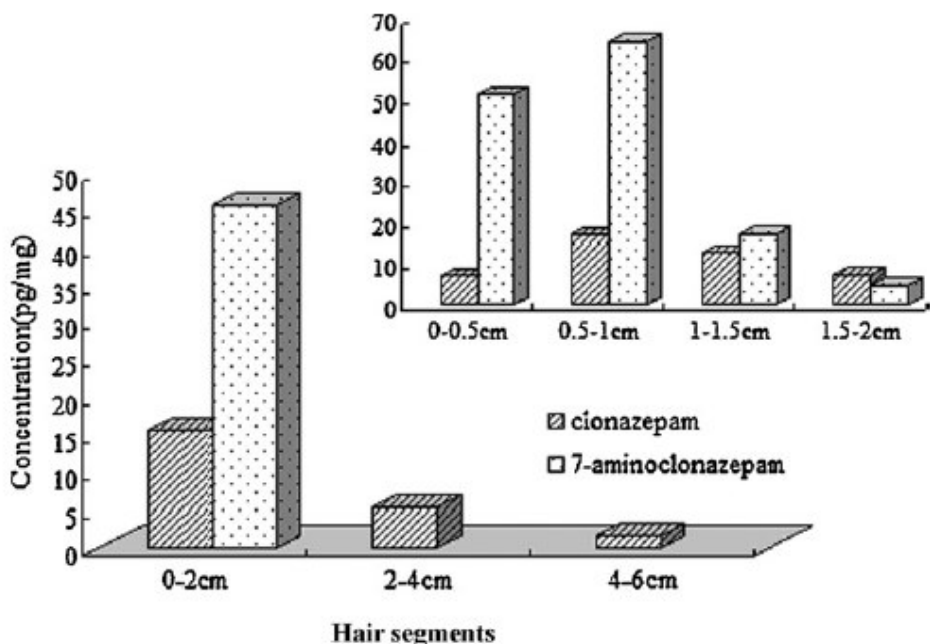


Fig. 6. Hair Segment Analysis of V#1.

#### 4. อกกิประยผล

วิธี LC-MS/MS ถูกพัฒนาขึ้นพร้อมกันกับการตรวจวัด 18 benzodiazepines ในตัวอย่าง เส้นผมสามารถขยายช่วงการตรวจในอาชญากรรมด้านยาเสพติด ซึ่งมีความไวสูง มันเป็นวิธีการ ทดสอบที่มีประโยชน์เพื่อยืนยันการติดตาม ปริมาณของ benzodiazepines ในเส้นผมหลังจาก ได้รับสารเพียงอย่างเดียว

Benzodiazepines เป็นยาที่พบบ่อยที่สุดในอาชญากรรมด้านยาเสพติด Triazolam เป็นที่ นิยมมากที่สุดในหลายปีที่ผ่านมาในประเทศจีนซึ่งนำไปสู่ปัญหาสังคมที่รุนแรง ดังนั้นในปี 2005 triazolam ได้รับการจดทะเบียนโดยสำนักงานอาหารและยา (SFDA) ให้อยู่ในระดับที่ 1 เป็นยาที่ ส่งผลกระทบต่อการเจ็บป่วยทางจิต ซึ่งต้องได้รับการการควบคุมเข้มงวดในการผลิตการขายและการ บริโภค ในขณะที่คดีที่เกี่ยวข้องกับ triazolam ได้ลดลงอย่างมาก, benzodiazepines อื่น ๆ ได้ถูก

เข็ม่าแทน Estazolam เป็นยาชนิด benzodiazepine ที่ใช้ส่วนใหญ่ในประเทคจีนในการรักษาอาการนอนไม่หลับ ซึ่งมีคุณสมบัติช่วยคลายกังวล, ยานันหัค, ยกกล่องประสาทและคลายกล้ามเนื้อ ดังแสดงในบางกรณีให้มีความเป็นไปได้มากกว่า nitrazepam หรือ diazepam ในที่สุดการศึกษา ใน estazolam มาจากประเทคในເອົ້າຍມີຮາຍງານນ້ອຍກວ່າຈາກປະເທດວັນຕົກ

ອາສາສົມຄ່າ 14 รายມີສ່ວນຮ່ວມໃນການທົດລອງ estazolam ຄວາມຮູ້ຈາກກາຮົກຂາກນີ້ເປັນຄັ້ງແຮກເພື່ອສືບກາຮົກກາຮຈາຍຂອງ estazolam ໃນເສັ້ນຜົມහັ້ງໄດ້ຮັບສາຮີເພີ່ມຍ່າງເດືອຍ ກາຮົກຂາກກ່ອນໜ້າເອົາສາຮີຕ່າງໆຂອງກາຮຈາຍສອບ zolpidem, zopiclone, bromazepam, clonazepam และ lorazepam ໃນຜົມແລະ ລັ້ງຈາກໄດ້ຮັບສາຮີເພີ່ມຍ່າງເດືອຍຈາກອາສາສົມຄ່າ 2 ອີ້ວີ 3 ຮາຍ Negrusz ແລະ ຄົມະຕຽບ flunitrazepam ແລະ ສາວຫລັກທີ່ໄດ້ຈາກກາຮສັນດາປ 7-aminoflunitrazepam ໃນເສັ້ນຜົມເກັບຈາກອາສາສົມຄ່າສຸຂພາພົດສືບຮ່ວມຈາກທີ່ໄດ້ຮັບຢາ Rohypnol 1 ຂນາດ 2 mg ເພີ່ມຍ່າງເດືອຍ

ຂໍ້ມູນເກີ່ຍກັບປຣິມານຄວາມຖານຂອງສາຮີທີ່ເກີ່ຍຂ້ອງກັບຄວາມໄວ້ຕ່ອປົງກິໂຮຍາຂອງວິຊີກາຮທີ່ສາມາດໃຫ້ໄດ້ປະໂຍ້ນໃນກາຮແປລຜົກກາຮຈາຍທີ່ຂອງເສັ້ນຜົມ ກັບ LOD 0.2 pg / mg ແລະ LOQ 0.5 pg / mg ວິຊີຂອງເຮົາດີກາຮແສດງເພື່ອໃຫ້ສາມາດຕຽບຈັບ estazolam 1 mg ເພີ່ມຍ່າງເດືອຍຫລັງຈາກນີ້ເດືອນ

ກລໄກປົງກິໂຮຍາຂອງຍາກາຮກາຮວມຕ້າກັນໃນເສັ້ນຜົມໄມ້ໄດ້ຮັບກາຮທໍາໃຫ້ເປັນທີ່ຍອມຮັບ ຖຸປະບົບທັ້ງສາມຂອງກາຮວມຕ້າກັນໄດ້ຮັບກາຮເສນອ ຍາເສີພົດສາມາຮົດເຂົ້າຝ່ານໄປຢັ້ງເສັ້ນຜົມໂດຍ (1) ແພວແບບ active ອີ້ວີ passive ຈາກກະແສເລືອດໂດຍທາງປຸ່ມຂອງເສັ້ນຜົມ (2) ກາຮແພວຈາກເໜືອແລະຕ່ອມສາຮັດຫລັ້ງອື່ນ ທີ່ເຈົ້າຕົບໂຕຈື້ນຫີ້ວີເສັ້ນໄຢັ້ມທີ່ເຈົ້າຕົບໂຕເຕີມທີ່ ອີ້ວີ (3) ຍາກາຍນອກຈາກໄໂອຫີ້ວີ ພົງແພວໄປຢັ້ງເສັ້ນໄຢັ້ມທີ່ເຈົ້າຕົບໂຕເຕີມທີ່ ແທ້ຈົງກາຮວມກັນຂອງເສັ້ນທາງເລ່ານີ້ນໍ້າຈະມີຄວາມເປັນໄປໄດ້ມາກທີ່ສຸດ estazolam ໄນພົບໃນກາຮລ້າງດ້ວຍໄດ້ຄລອໂຮມີເຫັນໃນນໍ້າສຸດທ້າຍ ດ້ວຍກາຮທົດສອບດ້ວຍຄຳພຸດແລະຂັ້ນຕອນກາຮລ້າງເປັນປັ້ງຈັກກາຮປນເປື້ອນຈາກກາຍນອກໃນກາຮົກຂາກຮົກຮັ້ງນີ້

ຍົກເວັ້ນສາຮີປຣິມານຕໍ່າ ສ່ວນຜົມ 2-4 ຊມ. ໄດ້ຄູກທົດສອບວ່າໃຫ້ຜົບວາງທັ້ງໃນກາຮທົດສອບຄວບຄຸມແລກຮົມມີກາຮຄູກທໍາຮ້າຍທາງເພົ່າມະນຸາແລະຍາເສີພົດ ເມື່ອປຣິມານສາຮີເພີ່ມຂຶ້ນ estazolam ສາມາດຕຽບຈັບໃນບາງກຸລຸ່ມ 4-6 ຊມ. ມີຄວາມແຕກຕ່າງຍ່າງມີນັຍສຳຄັງໃນຮ່ວ່າງທີ່ Kintz ແລະ ຄົມະທຳກາຮທົດສອບໃນກາຮທົດສອບ ແຕ່ກາຮທົດສອບພົດພລາດເຫັນກາຮເກັບຮົບຮ່ວມແລກກາຮຕັດແປງເປັນສ່ວນໆໃນຕົວຍ່າງເສັ້ນຜົມຈະເປັນປັ້ງຈັກຍ່າງໜຶ່ງ ພົບກາຮທົດສອບທີ່ໄດ້ຕາມລຳດັບຄືອສ່ວນທີ່ຕັດຄວາມຍາວ 0.5 cm ໄປຈົນເຖິງ 2 cm ນອກຈາກນີ້ຍັງມີກາຮເພີ່ມຂຶ້ນຂອງ clonazepam ແລະ ຄວາມເຂັ້ມຂຶ້ນຂອງ 7-aminoclonazepam ທີ່ສອດຄົດລົ້ອງກັນຕາມຮະຍະເລາຂ້ອຕ່າງກາຮເຈົ້າຕົບໂຕຂອງເສັ້ນຜົມ ຕາມປົກຕິ ດັ່ງນັ້ນເຮົາຈຶ່ງເຫັນວ່າຂໍ້ມູນຫລາຍສ່ວນທີ່ນຳເສັນອ້າງຕົ້ນເຫັນເຖືອໃນທັ້ງໝົດ

ในกรณีการถูกทำร้ายทางเพศขณะมาสูราและยาเสพติดของเรwaputตัวอย่างเลือดที่ clonazepam ความเข้มข้นต่ำคือ 1.05 และ 0.22 ng / ml, ความเข้มข้นของ 7-aminoclonazepam มี 20.60 และ 15.34 ng / ml ตามลำดับเนื่องจากมีความล่าช้าไป 18 ชั่วโมง และความแตกต่างแต่ละบุคคลในการสันดาปอาหาร แม้ว่าปริมาณการให้ยาังไม่ทราบ มีอาการเป็นพิษที่สำคัญสำหรับเหยื่อทั้งสอง พวกรเขามีอาการโคง่าหลังจากดื่ม เช่นกรณีเมื่อ V # 1 ถูกนำไปยังสถานที่อยู่อาศัยโดยลงสัญญาข้างหนึ่งของเชื้อถูกเผาอย่างรุนแรงจากท่อของรถจักรยานยนต์โดยไม่ทราบสาเหตุ ส่วนของเส้นผมของ V # 1 ความยาว 0-2 ซม. ให้ผลเป็นบวกของ clonazepam ที่ระดับ 15.47 pg / mg และ 7-aminoclonazepam ที่ระดับ 45.30 pg / mg ในขณะเดียวกัน V # 2 อยู่ที่ระดับ 11.93 pg / mg สำหรับ clonazepam และ 33.47 pg / mg สำหรับ 7 - aminoclonazepam สาร clonazepam ทั้งสองสามารถตรวจพบในงานวิจัย Che'ze และคณารายงานการไวต่อการเกิดปฏิกิริยาโดยใช้ LC-MS/MS ที่สำคัญด้วย LOD 0.5 pg / mg สำหรับ clonazepam และ 1 pg / mg สำหรับ 7-aminoclonazepam หลังจากได้รับ clonazepam 2 mg เพียงอย่างเดียว , 7- aminoclonazepam ถูกนำเสนอบนใน polymethacrylate ที่ 22 pg / mg ในส่วนแรก 1 ซม. ในขณะที่ clonazepam ไม่ถูกตรวจพบ วิธีนี้ใช้ได้ในกรณีที่นิติเวชหนึ่งที่พบเฉพาะ 7- aminoclonazepam ที่ปริมาณอย่างน้อย 3.2 pg / mg ใน polymethacrylate axillary 4 เดือนต่อมา ผลแตกต่างกันอาจขึ้นอยู่กับความแตกต่างของแต่ละบุคคลในปริมาณความเข้มข้นเลือด, อัตราการรวมตัวกันของยา, สีผม, สภาพด้านภายในของ polymethacrylate, อายุ, เพศ, น้ำหนัก เป็นต้น

คำอธิบายสำหรับการขยายวงของผู้ที่ให้ผลบวกจากปริมาณหนึ่งก็คือว่ายาเสพติดและสารที่รวมอยู่ในตัวของผู้ในระหว่างเส้นผ่านด้ายจากการแพร์เจกต์หรือสารหลังชื่นฯ Henderson และคณะรายงานว่า deuterated โคลเคนถูกพบในหลายส่วนหลังจากได้รับสารเพียงอย่างเดียว รวมทั้งเหงื่อหรือสารคัดหลังชื่นฯ เป็นเส้นทางสำหรับการสะสมยานี้เส้นผ่าน Raul และคณะเสนอว่า cortisol และ cortisone รวมตัวกันไปยังเส้นผ่านไม่ผ่านกระเพาะเลือด แต่ส่วนใหญ่ผ่านการแพร์เจกต์ ผู้ที่กำยำล้าสัán และผู้ที่มีความเสียใจได้รับการประเมินการรวมตัวกันของโคลเคน, flunitrazepam และนิโคตินและแสดงให้เห็นสะสมของยาเสพติดเล็กน้อยไปยังเส้นผ่านต่อมเหงื่อ Negrusz และคณะพบว่า 7-aminoflunitrazepam ถูกตรวจ 24 ชั่วโมงหลังการได้รับ flunitrazepam และยังคงอยู่ในผู้ทดลองจนกระทั่ง 28 วันในระยะเวลาทำการทดลอง ( $0.6\text{--}8.0 \text{ pg mg}^{-1}$ ) ของห้าในสิบของอาสาสมัคร แต่การศึกษาที่ใช้ NCI - MS ที่จริง Kintz และเพื่อนร่วมงานได้พบกรณีดังกล่าว ในกรณีการถูกทำร้ายทางเพศขณะมาสูราและยาเสพติดพากเข้าพบ bromazepam, เป้าหมายวิเคราะห์ในช่วง  $2\text{--}7 \text{ pg mg}^{-1}$  ในสิส่วนต่อเนื่องกัน' ซึ่งที่ได้รับ "การเกิดขึ้นของสารเพียงชนิดเดียวซึ่งเป็นการยาก" พากเข้าถือว่าผลมันอาจเกิดจากการแพร์เจกต์

เราหาความเข้มข้นของ 7-aminoclonazepam ที่มีนัยสำคัญสูงกว่า clonazepam ในผู้หลังจากได้รับสารเพียงอย่างเดียวซึ่งสอดคล้องกับที่รายงานโดย Che`ze และคณะ Nakahara และคณะแสดงให้เห็นว่าที่ความเข้มข้นแตกต่างกันของยาในผู้หลังก็คุณสมบัติทางเคมีฟิสิกส์และในกลุ่มทำงานของสาร อะมิโนแทนที่ในส่วนบนวงเบนซีนเพิ่มขึ้นในการรวมตัวกันของยาในเส้นผมและแทนที่ยาครอบคลุมที่ได้เป็นลบ

สรุปงานวิจัยทั้งหมดคนดูที่มีผลลัพธ์ การได้รับ estazolam เพียงอย่างเดียว 1 mg สามารถตรวจพบในเส้นผมส่วน proximal (0-2 cm) มีความล้มเหลวที่ดีระหว่างปริมาณและความเข้มข้นส่วนของเส้นผม 0-2 ซม. ในช่วงค่าความคลาดเคลื่อนที่แคบสำหรับอาสาสมัครที่ได้รับยาในปริมาณเดียวกัน จะกรองทั้งกลุ่มยาที่เกิดการรวมตัวกันเหล่านี้ไปยังหมาดเข้าใจได้ขึ้นและสาเหตุของการผันแปรระหว่างบุคคล มันจำเป็นที่จะต้องมีการซื้อขายจะต้องปฏิบัติมากขึ้นเพื่อใช้ในการวิเคราะห์ผลในอาชญากรรมด้านยาเสพติด

## กิตติกรรมประภาก

ผู้เขียนขอขอบคุณมูลนิธิวิทยาศาสตร์ธรรมชาติแห่งชาติและสถาบันวิจัยวิทยาศาสตร์แห่งชาติได้ให้การสนับสนุนทางการเงิน (No. 20975070 and No. GY0903)

## อ้างอิง

- [1] Z.M. Guo, Review: drugs facilitated in robbery cases, Chin. Forensic Sci. Technol. 2 (2003) 44–45.
- [2] Z.L. Jiang, J.Y. Tan, L.J. Yao, Screening analysis of benzodiazepine medicines and selected metabolites in plasma and urine using gas chromatography with nitrogen phosphorus detection, J. Anal. Sci. 21 (2005) 639–642.
- [3] Y. Zhu, J.Y. Tan, Detection of benzodiazepines and the metabolites in urine using GC–MS, Guangdong Police Technol. 70 (2003) 21–25.
- [4] J.H. Xiong, Determination of triazolam in human urine by GC-uECD, Chin. J. Forensic Med. 21 (2006) 101–102.
- [5] M. LeBeau, W. Andollo, W.L. Hearn, et al., Recommendations for toxicological investigations of drug-facilitated sexual assaults, J. Forensic Sci. 44 (1999) 227–230.
- [6] B. Marc, Current clinical aspects of drug-facilitated sexual assaults in sexually abused victims examined in a forensic emergency unit, Ther. Drug Monit. 30 (2008) 218–224.
- [7] H. Schloegl, S. Dresen, K. Spaczynski, M. Stoertzel, F.M. Wurst, W. Weinmann, Stability of ethyl glucuronide in urine, post-mortem tissue and blood samples, Int. J. Legal Med. 120 (2006) 83–88.
- [8] M. Pavlic, K. Libiseller, P. Grubwieser, H. Schubert, W. Rabl, Medicolegal aspects of tetrazepam metabolism, Int. J. Legal Med. 121 (2007) 169–174.
- [9] M. Villain, M. Che`ze, A. Tracqui, B. Ludes, P. Kintz, Windows of detection of zolpidem in urine and hair: application to two drug facilitated sexual assaults, Forensic Sci. Int. 143 (2004) 157–161.

- [10] J.P. Goullié, M. Cheze, G. Pépin, Determination of endogenous levels of GHB in human hair. Are there possibilities for the identification of GHB administration through hair analysis in cases of drug-facilitated sexual assault? *J. Anal. Toxicol.* 27 (2003) 574–580.
- [11] G. Frison, D. Favretto, L. Tedeschi, S.D. Ferrara, Detection of thiopental and pentobarbital in head and pubic hair in a case of drug-facilitated sexual assault, *Forensic Sci. Int.* 133 (2003) 171–174.
- [12] G. Pepin, M. Cheze, G. Duffort, F. Vaysette, Interest of hair and tandem mass spectrometry for chemical submission: about nine cases, *Toxicol. Anal.* 14 (2002) 395–406.
- [13] M. Cheze, M. Villain, G. Pépin, Determination of bromazepam, clonazepam and metabolites after a single intake in urine and hair by LC–MS/MS, application to forensic cases of drug facilitated crimes, *Forensic Sci. Int.* 145 (2004) 123–130.
- [14] P. Kintz, V. Cirimele, C. Jamey, B. Ludes, Testing for GHB in hair by GC/MS/MS after a single exposure: application to document sexual assault, *J. Forensic Sci.* 48 (2003) 195–200.
- [15] P. Kintz, M. Villain, M. Cheze, G. Pépin, Identification of alprazolam in hair in two cases of drug-facilitated incidents, *Forensic Sci. Int.* 153 (2005) 222–226.
- [16] M.P. Juhascik, A. Negrusz, D. Faugno, et al., An estimate of the proportion of drugfacilitation of sexual assault in four U.S. localities, *J. Forensic Sci.* 52 (2007) 1396–1400.
- [17] P. Kintz, Bioanalytical procedures for detection of chemical agents in hair in the case of drug-facilitated crimes, *Anal. Bioanal. Chem.* 388 (2007) 1467–1474.
- [18] M. Villain, M. Concheiro, V. Cirimele, P. Kintz, Screening method for benzodiazepines and hypnotics in hair at pg/mg level by liquid chromatography–mass spectrometry/mass spectrometry, *J. Chromatogr B: Analyt Technol. Biomed. Life Sci.* 825 (2005) 72–78.
- [19] M. Villain, M. Cheze, V. Dumestre, P. Kintz, Hair to document drug-facilitated crimes: four cases involving bromazepam, *J. Anal. Toxicol.* 28 (2004) 516–519.
- [20] M. Villain, M. Cheze, B. Ludes, P. Kintz, Testing for zopiclone in hair application to drug-facilitated crimes, *Forensic Sci. Int.* 145 (2004) 117–121.
- [21] M. Shen, P. Xiang, B.H. Shen, D. Ma, Screening for 132 drugs in blood by LC–MS/MS with multiple-reaction monitoring, *Chin. J. Forensic Sci.* 1 (2006) 14–20.
- [22] F. Peters, O. Drummer, F. Musshoff, Validation of new methods, *Forensic Sci. Int.* 165 (2007) 216–224.
- [23] B.K. Matuszewski, M.L. Constanzer, C.M. Chavez-Eng, Strategies for the assessment of matrix effect in quantitative bioanalytical methods based on HPLC-MS/ MS, *Anal. Chem.* 75 (2003) 3019–3030.
- [24] R.C. Irving, S.J. Dickson, The detection of sedatives in hair and nail samples using tandem LC–MS–MS, *Forensic Sci. Int.* 166 (2007) 58–67.
- [25] <http://pubchem.ncbi.nlm.nih.gov/summary/summary.cgi?sid=7847377> (accessed 29 Sep 2009).
- [26] B.H. Shen, M. Shen, X.Y. Zhuo, Screening of benzodiazepines and their metabolites in urine, *Fa Yi Xue Za Zhi* 18 (2002) 22–25.
- [27] Y. Harahap, L. Sasongko, B. Prasaja, et al., Comparative bioavailability of two estazolam tablet formulations in Indonesian healthy volunteers, *Arzneimittelforschung* 58 (2008) 501–504.
- [28] M. Nakamura, T. Ohmori, Y. Itoh, M. Terashita, K. Hirano, Simultaneous determination of benzodiazepines and their metabolites in human serum by liquid chromatography–tandem mass spectrometry using a high-resolution octadecyl silica column compatible with aqueous compounds, *Biomed. Chromatogr.* 23 (2009) 357–364.
- [29] P. Adamowicz, M. Kała, Date-rape drugs scene in Poland, *Przegl Lek* 62 (2005) 572–575.

- [30] P. Kintz, M. Villain, V. Cirimele, G. Pe'pin, B. Ludes, Windows of detection of lorazepam in urine, oral fluid and hair, with a special focus on drug-facilitated crimes, *Forensic Sci. Int.* 145 (2004) 131–135.
- [31] A. Negrusz, C.M. Moore, K.B. Hinkel, et al., Deposition of 7-aminoflunitrazepam and flunitrazepam in hair after a single dose of Rohypnol, *J. Forensic Sci.* 46 (2001) 1143–1151.
- [32] F.B. Musshoff, B. Madea, New trends in hair analysis and scientific demands on validation and technical notes, *Forensic Sci. Int.* 165 (2007) 204–215.
- [33] P. Kintz, Analytical and practical aspects of drug testing in hair Taylor & Francis Group, LLC, 2007.
- [34] Y. Nakahara, K. Takahashi, R. Kikura, Hair analysis for drugs of abuse. X. Effect of physicochemical properties of drugs on the incorporation rates into hair, *Biol. Pharm. Bull.* 18 (1995) 1223–1227.
- [35] G.L. Henderson, M.R. Harkey, C. Zhou, R.T. Jones, P. Jacob, Incorporation of isotopically labeled cocaine into human hair: race as a factor, *J. Anal. Toxicol.* 22 (1998) 156–165.
- [36] P. Xiang, M. Shen, X.Y. Zhuo, Hair analysis for ketamine and its metabolites, *Forensic Sci. Int.* 162 (2006) 131–134.
- [37] R. Wennig, Potential problems with the interpretation of hair analysis results, *Forensic Sci. Int.* 107 (2000) 5–12.
- [38] E.J. Cone, Mechanisms of drug incorporation into hair, *Ther. Drug Monit.* 18 (1996) 438–443.
- [39] G.L. Henderson, M.R. Harkey, C. Zhou, R.T. Jones, P. Jacob, Incorporation of isotopically labeled cocaine and metabolites into human hair. 1. Dose-response relationships, *J. Anal. Toxicol.* 20 (1996) 1–12.
- [40] J.S. Raul, V. Cirimele, B. Ludes, P. Kintz, Detection of physiological concentrations of cortisol and cortisone in human hair, *Clin. Biochem.* 37 (2004) 1105–1111.
- [41] P.R. Stout, J.A. Ruth, Deposition of [<sup>3</sup>H] cocaine, [<sup>3</sup>H] nicotine, and [<sup>3</sup>H] flunitrazepam in mouse hair melanosomes after systemic administration, *Drug Metab. Dispos.* 27 (1999) 731–735.
- [42] Y. Nakahara, R. Hanajiri, Hair analysis for drugs of abuse XXI. Effect of parasubstituents on benzene ring of methamphetamine on drug incorporation into rat hair, *Life Sci.* 66 (2000) 563–574.